



NetWorks Sp. z o.o.
Laboratorium Badań Środowiskowych
ul. Józefa Piusa Dziekońskiego 3
00-728 Warszawa
e-mail: Laboratorium@networks.pl



AB 419

S P R A W O Z D A N I E 135/2026/OS
Z POMIARÓW PÓL ELEKTROMAGNETYCZNYCH
WYKONANYCH DLA POTRZEB OCHRONY ŚRODOWISKA

Badany obiekt: Instalacja radiokomunikacyjna T-Mobile Polska S.A.

Numer i nazwa: 30900 (40129N!) GGD_GDANSK_REJA23

Adres: GDAŃSK, REJA 23, Powiat m. Gdańsk, WOJ. POMORSKIE

Data wykonania pomiarów: 2026-02-26

Sprawozdanie z badań bez pisemnej zgody laboratorium nie może być powielane inaczej niż w całości.

Wynik przedstawione w niniejszym sprawozdaniu odnoszą się wyłącznie do badanego obiektu i do warunków i konfiguracji urządzeń w dniu wykonywania pomiarów.

1. Właściciel badanego obiektu:

T-Mobile Polska S.A., ul. Marynarska 12, 02-674 Warszawa

2. Zleceniodawca:

T-Mobile Polska S.A., ul. Marynarska 12, 02-674 Warszawa

3. Przedstawiciel zleceniodawcy:

NetWorks Sp. z o.o.

4. Zakres zlecenia:

Wykonanie badania i opracowanie sprawozdania z pomiarów natężenia pola elektrycznego i pola magnetycznego dla instalacji radiokomunikacyjnej T-Mobile Polska S.A. zlokalizowanej w miejscowości GDAŃSK, REJA 23.

5. Cel zlecenia:

Wykonanie pomiarów pól elektromagnetycznych w otoczeniu instalacji radiokomunikacyjnej 30900 (40129N!) GGD_GDANSK_REJA23 w odniesieniu do wymagań określonych w *Rozporządzeniu Ministra Klimatu z dnia 17 lutego 2020 r. w sprawie sposobów sprawdzania dotrzymania dopuszczalnych poziomów pól elektromagnetycznych w środowisku (Dz.U. 2022 poz. 2630)*.

6. Pomiary zostały wykonane przez:

Nowak Paweł
Helwak Jakub

7. Informacje o źródłach pól elektromagnetycznych

7.1. Sposób identyfikacji badanych źródeł pól elektromagnetycznych

Identyfikacji źródeł i parametrów technicznych dokonano na podstawie analizy dokumentacji dotyczącej zlecenia oraz obserwacji miejsca wykonywania badań.

7.2. Opis miejsca zainstalowania anten i urządzeń technicznych. Opis obiektu badań i jego otoczenia

Instalacja radiokomunikacyjna zlokalizowana jest na terenie ogrodzonym. Anteny zawieszono na wieży strunobetonowej. Urządzenia sterujące oraz zasilające zainstalowano w kontenerze u podstawy wieży. Wokół instalacji znajdują się tereny przemysłowe.

Instalacja radiokomunikacyjna jest obiektem bezobsługowym. Okresowe stanowiska pracy związane są z prowadzonymi w zależności od potrzeb konserwacjami, przeglądami, strojeniem i naprawami.

7.3. Parametry techniczne źródła pola elektromagnetycznego

Dane przedstawiające maksymalne parametry pracy instalacji przekazane przez zleceniodawcę:

Parametry systemu nadawczo-odbiorczego:

Charakterystyka promieniowania		Kierunkowa					
Rzeczywisty czas pracy [h/dobę]		24					
Warunki pracy		Znamionowe					
Rodzaj wytwarzanego pola		Stacjonarne					
Lp.	Częstotliwość lub zakresy częstotliwości pracy [MHz]	Typ/producent anteny	liczba anten	Azymut [°]	kąt pochylecia [°]	Wysokość środka elektrycznego anteny [m n.p.t.]	Równoważna moc promieniowana izotropowo (EIRP) [W]
1	3600	AQQQ NSN	1	75	4-10**	25.8	47886
2	1800/2100	ADU4518R6v06 Huawei	1	75	0-12**/0-12**	25.8	15864
3	800/2600	ATR4518R13 Huawei	1	75	0-14**/0-10**	25.8	11773
4	900	ADU4517R0v06 Huawei	1	75	0-10**	40.7	4824
5	3600	AQQQ NSN	1	193	4-10**	25.8	47886
6	1800/2100	ADU4518R6v06 Huawei	1	193	0-12**/0-12**	25.8	15864
7	800/2600	ATR4518R13 Huawei	1	193	0-14**/0-10**	25.8	11773
8	900	ADU4517R0v06 Huawei	1	193	0-10**	40.7	4824
9	3600	AQQQ NSN	1	315	4-10**	25.8	47886
10	1800/2100	ADU4518R6v06 Huawei	1	315	0-12**/0-12**	25.8	15864
11	800/2600	ATR4518R13 Huawei	1	315	0-14**/0-10**	25.8	11773
12	900	ADU4517R0v06 Huawei	1	315	0-10**	40.7	4824

* wskazane wartości kąta pochylecia anten, zgodnie z informacją uzyskaną od zleceniodawcy, są wartościami stałymi
 ** pomiary wykonano zgodnie z pkt 13., ppkt 2 załącznika do Rozporządzenia Ministra Klimatu z dnia 17 lutego 2020 r. (Dz. U. 2022, poz. 2630).

Parametry radiolinii:

Charakterystyka promieniowania		kierunkowa					
Rzeczywisty czas pracy [h/dobę]		24					
Warunki pracy		znamionowe					
Rodzaj wytwarzanego pola		stacjonarne					
Lp.	Linia radiowa			Antena			
	Typ/Producent	Częstotliwość pracy [GHz]	Równoważna moc promieniowana izotropowo (EIRP) [W]	Typ/producent	Średnica anteny [m]	Azymut [°]	Wysokość zainstalowania n.p.t [m]
1.	ERICSSON CN510 6363 Ericsson	38	32	ANT3_0.3 38 HP/HPX Ericsson	0.3	64	50.5
2.	Ericsson CN510 RAU2X Ericsson	38	13	ANT2_0.3 38 HP Ericsson	0.3	88	51
3.	NP ERICSSON ML 6352 R2+ 70/80GHz 250MHz Ericsson	80	1779	ANT2_0.3 80 HP/HPX Ericsson	0.3	96	41.7

Sprawozdanie z badań bez pisemnej zgody laboratorium nie może być powielane inaczej niż w całości.

Wynik przedstawione w niniejszym sprawozdaniu odnoszą się wyłącznie do badanego obiektu i do warunków i konfiguracji urządzeń w dniu wykonywania pomiarów.

Charakterystyka promieniowania			kierunkowa				
Rzeczywisty czas pracy [h/dobę]			24				
Warunki pracy			znamionowe				
Rodzaj wytwarzanego pola			stacjonarne				
Lp.	Linia radiowa			Antena			
	Typ/ Producent	Częstotliwość pracy [GHz]	Równoważna moc promieniowana izotropowo (EIRP) [W]	Typ/ producent	Średnica anteny [m]	Azymut [°]	Wysokość zainstalowania n.p.t [m]
4.	NP ERICSSON ML 6352 R2+ 70/80GHz 250MHz Ericsson	80	1413	ANT2_0.3 80 HP/HPX Ericsson	0.3	126	41.7
5.	Ericsson CN510 RAU2X Ericsson	38	4	ANT2_0.3 38 HP Ericsson	0.3	154	51.5
6.	ERICSSON CN510 6363 Ericsson	38	32	ANT3_0.3 38 HP/HPX Ericsson	0.3	273	51.5
7.	NEC iPasolink 200	38	113	VHLP1-38 Andrew	0.3	300	51.7
8.	ERICSSON CN510 6363 Ericsson	38	1	ANT3_0.3 38 HP/HPX Ericsson	0.3	319	51.7

7.4 Inne źródła pól elektromagnetycznych

Na podstawie informacji otrzymanych od użytkownika oraz obserwacji otoczenia miejsca wykonywania pomiarów nie stwierdzono występowania innych źródeł pola-EM.

8. Opis pomiarów

8.1. Metoda badań

Zgodna z rozporządzeniem Ministra Klimatu z dnia 17 lutego 2020 r. w sprawie sposobów sprawdzania dotrzymania dopuszczalnych poziomów pól elektromagnetycznych w środowisku (Dz.U. 2022 poz. 2630), określona w pkt 25 ppkt 1 załącznika do niniejszego rozporządzenia.

8.2. Termin pomiarów i warunki środowiskowe

Podczas wykonywania pomiarów pól elektromagnetycznych nie występowały opady atmosferyczne. Wyniki pomiaru parametrów pogodowych przedstawia poniższa tabela:

Data [rrrr-mm-dd]	Godzina [hh:mm- hh:mm]	Warunki środowiskowe			
		Temperatura [°C]		Wilgotność względna [%]	
2026-02-26	14:35-16:20	Przed pomiarem	Po pomiarach	Przed pomiarem	Po pomiarach
		4.8	5.1	64.1	63.8

Przedstawione wyżej warunki środowiskowe, występujące podczas wykonywania pomiarów pól elektromagnetycznych, są zgodne ze specyfikacją techniczną użytego zestawu pomiarowego.

8.3. Warunki pracy urządzeń nadawczych

Podczas pomiarów w przypadku uzyskania wyniku pomiaru szerokopasmowego wykonanego zastosowaną metodą, dla zakresów częstotliwości od 10 MHz do 300 GHz, powiększonego o rozszerzoną niepewność pomiaru U dla współczynnika rozszerzenia $k = 2$ przekraczającego 70% najniższej dopuszczalnej wartości składowej elektrycznej lub magnetycznej pola dla objętych pomiarami zakresów częstotliwości, uwzględnia się poprawki pomiarowe przekazane przez zleceniodawcę, umożliwiające uwzględnienie maksymalnych parametrów pracy instalacji zgodnie z pkt 7 załącznika do Rozporządzeniem Ministra Klimatu z dnia 17 lutego 2020 r. w sprawie sposobów sprawdzania dotrzymania dopuszczalnych poziomów pól elektromagnetycznych w środowisku (Dz. U. 2022, poz. 2630) zaznaczając, że wymagane jest

Sprawozdanie z badań bez pisemnej zgody laboratorium nie może być powielane inaczej niż w całości.

Wynik przedstawione w niniejszym sprawozdaniu odnoszą się wyłącznie do badanego obiektu i do warunków i konfiguracji urządzeń w dniu wykonywania pomiarów.

wykonanie pomiaru z wykorzystaniem miernika selektywnego. W przypadku uzyskania wyniku pomiaru szerokopasmowego wykonanego zastosowaną metodą, dla zakresów częstotliwości od 10 MHz do 300 GHz, powiększonego o rozszerzoną niepewność pomiaru U dla współczynnika rozszerzenia $k = 2$ nieprzekraczającego 70% najniższej dopuszczalnej wartości składowej elektrycznej lub magnetycznej pola dla objętych pomiarami zakresów częstotliwości, nie uwzględnia się poprawek pomiarowych.

8.4. Wyposażenie pomiarowe

Zestaw pomiarowy służący do pomiaru natężenia składowej elektrycznej pola elektromagnetycznego złożony z szerokopasmowego miernika i sondy pomiarowej:

Oznaczenie miernika	Producent	Model	Numer fabryczny	Oznaczenie sondy	Producent	Model	Numer fabryczny
MW-08	Wavecontrol	Miernik pól elektromagnetycznych SMP2	22SN2090	SW-15	Wavecontrol	Sonda WPF60	22WP230221

Mierniki natężenia pola elektromagnetycznego podlegają okresowemu sprawdzeniu zgodnie z procedurą wewnętrzną P-03 i PB-01. Świadczenie wzorcowania zestawu pomiarowego z dnia 8 listopada 2024 o numerze LWiMP/W/395/24 wydane przez Politechnika Wrocławską. Data ważności świadectwa wzorcowania: 8 listopada 2026 (zgodnie z procedurą wewnętrzną P-03).

Oznaczenie miernika	Producent	Model	Numer fabryczny	Oznaczenie sondy	Producent	Model	Numer fabryczny
MW-08	Wavecontrol	Miernik pól elektromagnetycznych SMP2	22SN2090	SW-16	Wavecontrol	Sonda WPF3-HP	22WP030450

Mierniki natężenia pola elektromagnetycznego podlegają okresowemu sprawdzeniu zgodnie z procedurą wewnętrzną P-03 i PB-01. Świadczenie wzorcowania zestawu pomiarowego z dnia 8 listopada 2024 o numerze LWiMP/W/395/24 wydane przez Politechnika Wrocławską. Data ważności świadectwa wzorcowania: 8 listopada 2026 (zgodnie z procedurą wewnętrzną P-03).

Termohigrometr:

Oznaczenie:	TH-24	Producent:	AZ INSTRUMENT CORP	Model:	Termohigrometr AZ8706
-------------	-------	------------	--------------------	--------	-----------------------

Data ważności świadectwa wzorcowania: 3 sierpnia 2027 (zgodnie z procedurą wewnętrzną P-03).

Dalmierz:

Oznaczenie	Producent	Typ	Numer seryjny	Nr świadectwa wzorcowania	Data świadectwa wzorcowania
D-09	Leica	Dalmierz Leica Disto D510	1042956700	Z3- Z32.4180.182.2024.4196.3	8 stycznia 2025

Data ważności świadectwa wzorcowania: 8 stycznia 2035 (zgodnie z procedurą wewnętrzną P-03).

Odbiornik GNSS:

Odbiornik GNSS wbudowany w miernik natężenia pola elektromagnetycznego użyty podczas pomiarów	Producent	Model
	UBlox	MAX-M8Q

Odbiorniki podlegają okresowemu sprawdzeniu zgodnie z procedurą wewnętrzną P-03.

9. Wyniki pomiarów

Pole elektryczne

Nr pionu	Opis umiejscowienia pionu (punktu pomiarowego)	Wysokość pomiaru [m]	Zmierzona wartość natężenia pola elektrycznego E [V/m] ^{1,5}			Wartość natężenia pola elektrycznego powiększona o niepewność pomiaru ⁴ E [V/m]	Wskaźnikowa wartość poziomej emisji pól elektromagnetycznych WME ³	Współrzędne geograficzne pionu (punktu pomiarowego) ²
			Sonda SW-15	Sonda SW-16	Wartość			
1	DPP w oknie otwartym kuchni mieszkania nr 12 na 3 piętrze budynku przy ul. Reja 25	2.0	1.3	1.3	1.3	1.8	0.06	54°22'50.2" 18°37'49.4"
2	DPP w oknie otwartym mieszkania nr 13 na 3 piętrze budynku przy ul. Reja 25	2.0	1.5	1.5	1.5	2	0.07	54°22'50.5" 18°37'49.8"
3	DPP na balkonie mieszkania nr 12 na 3 piętrze budynku przy ul. Reja 25	2.0	2.2	2.2	2.2	3	0.11	54°22'50.2" 18°37'49.4"
4	DPP w oknie klatki schodowej na 2 piętrze budynku Energa przy ul. Reja 23	0.3-2.0	<1.0*	<1.0*	<1.0*	1.4	0.05	54°22'52.3" 18°37'49.8"
5	DPP w oknie otwartym na 2 piętrze budynku Energa przy ul. Reja 23	2.0	1.3	1.3	1.3	1.8	0.06	54°22'52.3" 18°37'48.7"
6	PKP płaszczyzna okna na parterze budynku szkoły	2.0	1.3	1.3	1.3	1.8	0.06	54°22'50.9" 18°37'50.5"
7	DPP płaszczyzna okna parterowego budynku usługowego przy ul. Reja 3	2.0	1.6	1.6	1.6	2.2	0.08	54°22'53.4" 18°37'44.8"
8	DPP płaszczyzna okna parterowego budynku usługowego przy ul. Reja 3C	2.0	1.1	1.1	1.1	1.5	0.05	54°22'52.3" 18°37'47.6"
9	GKP w odległości poziomej 30m od anteny radioliniowej az. 64°	2.0	1.2	1.2	1.2	1.6	0.06	54°22'52.0" 18°37'50.5"
10	GKP w odległości poziomej 14m od anteny sektorowej az. 75°	2.0	1.2	1.2	1.2	1.6	0.06	54°22'51.6" 18°37'49.8"

Sprawozdanie z badań bez pisemnej zgody laboratorium nie może być powielane inaczej niż w całości.

Wynik przedstawione w niniejszym sprawozdaniu odnoszą się wyłącznie do badanego obiektu i do warunków i konfiguracji urządzeń w dniu wykonywania pomiarów.

11	GKP w odległości poziomej 43m od anteny sektorowej az. 75°	2.0	1.3	1.3	1.3	1.8	0.06	54°22'52.0" 18°37'51.2"
12	GKP w odległości poziomej 43m od anteny radioliniowej az. 88°	2.0	1.1	1.1	1.1	1.5	0.05	54°22'51.6" 18°37'51.2"
13	GKP w odległości poziomej 63m od anteny radioliniowej az. 96°	0.3-2.0	<1.0*	<1.0*	<1.0*	1.4	0.05	54°22'51.2" 18°37'52.3"
14	GKP w odległości poziomej 30m od anteny radioliniowej az. 126°	2.0	1.2	1.2	1.2	1.6	0.06	54°22'50.9" 18°37'50.2"
15	GKP w odległości poziomej 77m od anteny radioliniowej az. 126°	2.0	1.4	1.4	1.4	1.9	0.07	54°22'50.2" 18°37'52.3"
16	GKP w odległości poziomej 61m od anteny radioliniowej az. 154°	0.3-2.0	<1.0*	<1.0*	<1.0*	1.4	0.05	54°22'49.8" 18°37'50.2"
17	GKP w odległości poziomej 19m od anteny sektorowej az. 193°	2.0	1.2	1.2	1.2	1.6	0.06	54°22'50.9" 18°37'48.4"
18	GKP w odległości poziomej 57m od anteny sektorowej az. 193°	2.0	1.4	1.4	1.4	1.9	0.07	54°22'49.8" 18°37'48.0"
19	GKP w odległości poziomej 111m od anteny sektorowej az. 193°	2.0	1.4	1.4	1.4	1.9	0.07	54°22'48.0" 18°37'47.3"
20	GKP w odległości poziomej 55m od anteny radioliniowej az. 273°	2.0	1.2	1.2	1.2	1.6	0.06	54°22'51.6" 18°37'45.5"
21	GKP w odległości poziomej 67m od anteny radioliniowej az. 300°	2.0	1.4	1.4	1.4	1.9	0.07	54°22'52.7" 18°37'45.5"
22	GKP w odległości poziomej 12m od anteny sektorowej az. 315°	2.0	1.1	1.1	1.1	1.5	0.05	54°22'52.0" 18°37'48.4"

Sprawozdanie z badań bez pisemnej zgody laboratorium nie może być powielane inaczej niż w całości.
 Wynik przedstawione w niniejszym sprawozdaniu odnoszą się wyłącznie do badanego obiektu i do warunków i konfiguracji urządzeń w dniu wykonywania pomiarów.

23	GKP w odległości poziomej 62m od anteny sektorowej az. 315°	2.0	1.5	1.5	1.5	2	0.07	54°22'53.0" 18°37'46.2"
24	GKP w odległości poziomej 94m od anteny sektorowej az. 315°	2.0	1.5	1.5	1.5	2	0.07	54°22'53.8" 18°37'45.1"
25	GKP w odległości poziomej 73m od anteny radioliniowej az. 319°	2.0	1.3	1.3	1.3	1.8	0.06	54°22'53.4" 18°37'46.2"
26	PKP na az. 40° w odległości poziomej 36m od anteny sektorowej az. 75°	2.0	1.5	1.5	1.5	2	0.07	54°22'52.3" 18°37'50.2"
27	PKP na az. 55° w odległości poziomej 39m od anteny sektorowej az. 75°	2.0	1.4	1.4	1.4	1.9	0.07	54°22'52.3" 18°37'50.5"
28	PKP na az. 68° w odległości poziomej 42m od anteny sektorowej az. 75°	2.0	1.6	1.6	1.6	2.2	0.08	54°22'52.0" 18°37'50.9"
29	PKP na az. 82° w odległości poziomej 49m od anteny sektorowej az. 75°	2.0	1.5	1.5	1.5	2	0.07	54°22'51.6" 18°37'51.6"
30	PKP na az. 95° w odległości poziomej 40m od anteny sektorowej az. 75°	2.0	1.4	1.4	1.4	1.9	0.07	54°22'51.6" 18°37'51.2"
31	PKP na az. 110° w odległości poziomej 57m od anteny sektorowej az. 75°	0.3-2.0	<1.0*	<1.0*	<1.0*	1.4	0.05	54°22'50.9" 18°37'52.0"
32	PKP na az. 158° w odległości poziomej 57m od anteny sektorowej az. 193°	0.3-2.0	<1.0*	<1.0*	<1.0*	1.4	0.05	54°22'49.8" 18°37'49.8"
33	PKP na az. 173° w odległości poziomej 58m od anteny sektorowej az. 193°	2.0	1.5	1.5	1.5	2	0.07	54°22'49.8" 18°37'49.1"
34	PKP na az. 186° w odległości poziomej 57m od anteny sektorowej az. 193°	2.0	1.7	1.7	1.7	2.3	0.08	54°22'49.8" 18°37'48.4"

Sprawozdanie z badań bez pisemnej zgody laboratorium nie może być powielane inaczej niż w całości.
 Wynik przedstawione w niniejszym sprawozdaniu odnoszą się wyłącznie do badanego obiektu i do warunków i konfiguracji urządzeń w dniu wykonywania pomiarów.

35	PKP na az. 200° w odległości poziomej 56m od anteny sektorowej az. 193°	2.0	1.5	1.5	1.5	2	0.07	54°22'49.8" 18°37'47.6"
36	PKP na az. 213° w odległości poziomej 64m od anteny sektorowej az. 193°	0.3-2.0	<1.0*	<1.0*	<1.0*	1.4	0.05	54°22'49.8" 18°37'46.9"
37	DPP w oknie parterowego budynku stróżówki	0.3-2.0	<1.0*	<1.0*	<1.0*	1.4	0.05	54°22'49.8" 18°37'46.6"
38	PKP na az. 228° w odległości poziomej 56m od anteny sektorowej az. 193°	2.0	1.4	1.4	1.4	1.9	0.07	54°22'50.2" 18°37'46.6"
39	PKP na az. 280° w odległości poziomej 58m od anteny sektorowej az. 315°	2.0	1.4	1.4	1.4	1.9	0.07	54°22'52.0" 18°37'45.5"
40	PKP na az. 295° w odległości poziomej 58m od anteny sektorowej az. 315°	0.3-2.0	<1.0*	<1.0*	<1.0*	1.4	0.05	54°22'52.3" 18°37'45.8"
41	PKP na az. 308° w odległości poziomej 60m od anteny sektorowej az. 315°	0.3-2.0	<1.0*	<1.0*	<1.0*	1.4	0.05	54°22'52.7" 18°37'46.2"
42	PKP na az. 322° w odległości poziomej 56m od anteny sektorowej az. 315°	2.0	1.5	1.5	1.5	2	0.07	54°22'53.0" 18°37'46.9"
43	PKP na az. 335° w odległości poziomej 55m od anteny sektorowej az. 315°	2.0	1.3	1.3	1.3	1.8	0.06	54°22'53.4" 18°37'47.3"
44	PKP na az. 350° w odległości poziomej 56m od anteny sektorowej az. 315°	2.0	1.4	1.4	1.4	1.9	0.07	54°22'53.4" 18°37'48.4"
45	GKP w odległości poziomej 109m od anteny sektorowej az. 75°	0.3-2.0	<1.0*	<1.0*	<1.0*	1.4	0.05	54°22'52.3" 18°37'54.8"

Sprawozdanie z badań bez pisemnej zgody laboratorium nie może być powielane inaczej niż w całości.
 Wynik przedstawione w niniejszym sprawozdaniu odnoszą się wyłącznie do badanego obiektu i do warunków i konfiguracji urządzeń w dniu wykonywania pomiarów.

-	GKP w odległości poziomej 245m od anteny sektorowej az. 193°	2.0	1.1	1.1	1.1	1.5	0.05	54°22'43.7" 18°37'45.8"
-	GKP w odległości poziomej 259m od anteny sektorowej az. 75°	2.0	1.4	1.4	1.4	1.9	0.07	54°22'53.8" 18°38'2.8"
-	GKP w odległości poziomej 243m od anteny sektorowej az. 315°	2.0	1.8	1.8	1.8	2.4	0.09	54°22'57.0" 18°37'39.0"

Pole magnetyczne (wyznaczone na podstawie pomiaru wartości natężenia pola elektrycznego)

Nr pionu	Opis umiejscowienia pionu (punktu pomiarowego)	Wysokość pomiaru [m]	Wartość natężenia pola magnetycznego H [A/m] ¹			Wartość natężenia pola magnetycznego powiększona o niepewność pomiaru ⁴ H [A/m]	Wskaźnikowa wartość poziomu emisji pól elektromagnetycznych WM _H ³	Współrzędne geograficzne pionu (punktu pomiarowego) ²
			Sonda SW-15	Sonda SW-16	Wartość			
1	DPP w oknie otwartym kuchni mieszkania nr 12 na 3 piętrze budynku przy ul Reja 25	2.0	0.003	0.003	0.003	0.005	0.06	54°22'50.2" 18°37'49.4"
2	DPP w oknie otwartym mieszkania nr 13 na 3 piętrze budynku przy ul. Reja 25	2.0	0.004	0.004	0.004	0.005	0.07	54°22'50.5" 18°37'49.8"
3	DPP na balkonie mieszkania nr 12 na 3 piętrze budynku przy ul. Reja 25	2.0	0.006	0.006	0.006	0.008	0.11	54°22'50.2" 18°37'49.4"
4	DPP w oknie klatki schodowej na 2 piętrze budynku Energa przy ul. Reja 23	0.3-2.0	<0.003*	<0.003*	<0.003*	0.004	0.05	54°22'52.3" 18°37'49.8"
5	DPP w oknie otwartym na 2 piętrze budynku Energa przy ul. Reja 23	2.0	0.003	0.003	0.003	0.005	0.06	54°22'52.3" 18°37'48.7"
6	PKP płaszczyzna okna na parterze budynku szkoły	2.0	0.003	0.003	0.003	0.005	0.06	54°22'50.9" 18°37'50.5"
7	DPP płaszczyzna okna parterowego budynku usługowego przy ul. Reja 3	2.0	0.004	0.004	0.004	0.006	0.08	54°22'53.4" 18°37'44.8"

Sprawozdanie z badań bez pisemnej zgody laboratorium nie może być powielane inaczej niż w całości.
 Wynik przedstawione w niniejszym sprawozdaniu odnoszą się wyłącznie do badanego obiektu i do warunków i konfiguracji urządzeń w dniu wykonywania pomiarów.

8	DPP płaszczyzna okna parterowego budynku usługowego przy ul Reja 3C	2.0	0.003	0.003	0.003	0.004	0.05	54°22'52.3" 18°37'47.6"
9	GKP w odległości poziomej 30m od anteny radioliniowej az. 64°	2.0	0.003	0.003	0.003	0.004	0.06	54°22'52.0" 18°37'50.5"
10	GKP w odległości poziomej 14m od anteny sektorowej az. 75°	2.0	0.003	0.003	0.003	0.004	0.06	54°22'51.6" 18°37'49.8"
11	GKP w odległości poziomej 43m od anteny sektorowej az. 75°	2.0	0.003	0.003	0.003	0.005	0.06	54°22'52.0" 18°37'51.2"
12	GKP w odległości poziomej 43m od anteny radioliniowej az. 88°	2.0	0.003	0.003	0.003	0.004	0.05	54°22'51.6" 18°37'51.2"
13	GKP w odległości poziomej 63m od anteny radioliniowej az. 96°	0.3-2.0	<0.003*	<0.003*	<0.003*	0.004	0.05	54°22'51.2" 18°37'52.3"
14	GKP w odległości poziomej 30m od anteny radioliniowej az. 126°	2.0	0.003	0.003	0.003	0.004	0.06	54°22'50.9" 18°37'50.2"
15	GKP w odległości poziomej 77m od anteny radioliniowej az. 126°	2.0	0.004	0.004	0.004	0.005	0.07	54°22'50.2" 18°37'52.3"
16	GKP w odległości poziomej 61m od anteny radioliniowej az. 154°	0.3-2.0	<0.003*	<0.003*	<0.003*	0.004	0.05	54°22'49.8" 18°37'50.2"
17	GKP w odległości poziomej 19m od anteny sektorowej az. 193°	2.0	0.003	0.003	0.003	0.004	0.06	54°22'50.9" 18°37'48.4"
18	GKP w odległości poziomej 57m od anteny sektorowej az. 193°	2.0	0.004	0.004	0.004	0.005	0.07	54°22'49.8" 18°37'48.0"
19	GKP w odległości poziomej 111m od anteny sektorowej az. 193°	2.0	0.004	0.004	0.004	0.005	0.07	54°22'48.0" 18°37'47.3"

Sprawozdanie z badań bez pisemnej zgody laboratorium nie może być powielane inaczej niż w całości.
 Wynik przedstawione w niniejszym sprawozdaniu odnoszą się wyłącznie do badanego obiektu i do warunków i konfiguracji urządzeń w dniu wykonywania pomiarów.

20	GKP w odległości poziomej 55m od anteny radioliniowej az. 273°	2.0	0.003	0.003	0.003	0.004	0.06	54°22'51.6" 18°37'45.5"
21	GKP w odległości poziomej 67m od anteny radioliniowej az. 300°	2.0	0.004	0.004	0.004	0.005	0.07	54°22'52.7" 18°37'45.5"
22	GKP w odległości poziomej 12m od anteny sektorowej az. 315°	2.0	0.003	0.003	0.003	0.004	0.05	54°22'52.0" 18°37'48.4"
23	GKP w odległości poziomej 62m od anteny sektorowej az. 315°	2.0	0.004	0.004	0.004	0.005	0.07	54°22'53.0" 18°37'46.2"
24	GKP w odległości poziomej 94m od anteny sektorowej az. 315°	2.0	0.004	0.004	0.004	0.005	0.07	54°22'53.8" 18°37'45.1"
25	GKP w odległości poziomej 73m od anteny radioliniowej az. 319°	2.0	0.003	0.003	0.003	0.005	0.06	54°22'53.4" 18°37'46.2"
26	PKP na az. 40° w odległości poziomej 36m od anteny sektorowej az. 75°	2.0	0.004	0.004	0.004	0.005	0.07	54°22'52.3" 18°37'50.2"
27	PKP na az. 55° w odległości poziomej 39m od anteny sektorowej az. 75°	2.0	0.004	0.004	0.004	0.005	0.07	54°22'52.3" 18°37'50.5"
28	PKP na az. 68° w odległości poziomej 42m od anteny sektorowej az. 75°	2.0	0.004	0.004	0.004	0.006	0.08	54°22'52.0" 18°37'50.9"
29	PKP na az. 82° w odległości poziomej 49m od anteny sektorowej az. 75°	2.0	0.004	0.004	0.004	0.005	0.07	54°22'51.6" 18°37'51.6"
30	PKP na az. 95° w odległości poziomej 40m od anteny sektorowej az. 75°	2.0	0.004	0.004	0.004	0.005	0.07	54°22'51.6" 18°37'51.2"
31	PKP na az. 110° w odległości poziomej 57m od anteny sektorowej az. 75°	0.3-2.0	<0.003*	<0.003*	<0.003*	0.004	0.05	54°22'50.9" 18°37'52.0"
32	PKP na az. 158° w odległości poziomej 57m od anteny sektorowej az. 193°	0.3-2.0	<0.003*	<0.003*	<0.003*	0.004	0.05	54°22'49.8" 18°37'49.8"

Sprawozdanie z badań bez pisemnej zgody laboratorium nie może być powielane inaczej niż w całości.
 Wynik przedstawione w niniejszym sprawozdaniu odnoszą się wyłącznie do badanego obiektu i do warunków i konfiguracji urządzeń w dniu wykonywania pomiarów.

33	PKP na az. 173° w odległości poziomej 58m od anteny sektorowej az. 193°	2.0	0.004	0.004	0.004	0.005	0.07	54°22'49.8" 18°37'49.1"
34	PKP na az. 186° w odległości poziomej 57m od anteny sektorowej az. 193°	2.0	0.005	0.005	0.005	0.006	0.08	54°22'49.8" 18°37'48.4"
35	PKP na az. 200° w odległości poziomej 56m od anteny sektorowej az. 193°	2.0	0.004	0.004	0.004	0.005	0.07	54°22'49.8" 18°37'47.6"
36	PKP na az. 213° w odległości poziomej 64m od anteny sektorowej az. 193°	0.3-2.0	<0.003*	<0.003*	<0.003*	0.004	0.05	54°22'49.8" 18°37'46.9"
37	DPP w oknie parterowego budynku stróżówki	0.3-2.0	<0.003*	<0.003*	<0.003*	0.004	0.05	54°22'49.8" 18°37'46.6"
38	PKP na az. 228° w odległości poziomej 56m od anteny sektorowej az. 193°	2.0	0.004	0.004	0.004	0.005	0.07	54°22'50.2" 18°37'46.6"
39	PKP na az. 280° w odległości poziomej 58m od anteny sektorowej az. 315°	2.0	0.004	0.004	0.004	0.005	0.07	54°22'52.0" 18°37'45.5"
40	PKP na az. 295° w odległości poziomej 58m od anteny sektorowej az. 315°	0.3-2.0	<0.003*	<0.003*	<0.003*	0.004	0.05	54°22'52.3" 18°37'45.8"
41	PKP na az. 308° w odległości poziomej 60m od anteny sektorowej az. 315°	0.3-2.0	<0.003*	<0.003*	<0.003*	0.004	0.05	54°22'52.7" 18°37'46.2"
42	PKP na az. 322° w odległości poziomej 56m od anteny sektorowej az. 315°	2.0	0.004	0.004	0.004	0.005	0.07	54°22'53.0" 18°37'46.9"
43	PKP na az. 335° w odległości poziomej 55m od anteny sektorowej az. 315°	2.0	0.003	0.003	0.003	0.005	0.06	54°22'53.4" 18°37'47.3"
44	PKP na az. 350° w odległości poziomej 56m od anteny sektorowej az. 315°	2.0	0.004	0.004	0.004	0.005	0.07	54°22'53.4" 18°37'48.4"
45	GKP w odległości poziomej 109m od anteny sektorowej az. 75°	0.3-2.0	<0.003*	<0.003*	<0.003*	0.004	0.05	54°22'52.3" 18°37'54.8"

Sprawozdanie z badań bez pisemnej zgody laboratorium nie może być powielane inaczej niż w całości.
 Wynik przedstawione w niniejszym sprawozdaniu odnoszą się wyłącznie do badanego obiektu i do warunków i konfiguracji urządzeń w dniu wykonywania pomiarów.

-	GKP w odległości poziomej 245m od anteny sektorowej az. 193°	2.0	0.003	0.003	0.003	0.004	0.05	54°22'43.7" 18°37'45.8"
-	GKP w odległości poziomej 259m od anteny sektorowej az. 75°	2.0	0.004	0.004	0.004	0.005	0.07	54°22'53.8" 18°38'2.8"
-	GKP w odległości poziomej 243m od anteny sektorowej az. 315°	2.0	0.005	0.005	0.005	0.006	0.09	54°22'57.0" 18°37'39.0"

Pomiarów nie wykonano:

Oznaczenie braku dostępu	Opis umiejscowienia
A	W budynku szkoły "zespół szkół energetycznych" pod adresem Reja 25, z powodu Brak zgody ochrony obiektu

W miejscach, w których nie udało się przeprowadzić pomiarów z powodu nieobecności mieszkańców, Laboratorium Badań Środowiskowych NetWorks podejmie próbę ich wykonania podczas kolejnych badań poziomu pól elektromagnetycznych prowadzonych na potrzeby ochrony środowiska.

GKP – Główny Kierunek Pomiarowy

DPP – Dodatkowy Pion Pomiarowy

PKP – Pomocniczy Kierunek Pomiarowy

¹ wyniki oznaczone * są wynikami poniżej czułości zestawu pomiarowego i są wynikami spoza zakresu akredytacji. Do obliczenia wyniku skorygowanego przyjęto wartość skorelowaną z rzeczywistym wynikiem pomiaru - dolną granicę akredytowanego zakresu pomiarowego metody

² współrzędne geograficzne pozyskane metodą pomiaru bezpośredniego

³ do wyznaczenia wartości wskaźnikowej W_{ME} i W_{MH} przyjęto na podstawie uzgodnień z klientem oraz rozpoznania źródeł, jako wartości dopuszczalne pola elektrycznego i magnetycznego odpowiednio 28 V/m i 0,073 A/m.

⁴ do wyznaczenia niepewności dla wyników poniżej czułości zestawu pomiarowego, przyjęto niepewność dla minimalnej wartości z zakresu pomiarowego.

⁵ maksymalna wartość chwilowa

Niepewność oszacowano zgodnie z dokumentem P-03 „Procedura nadzoru nad wyposażeniem” w postaci niepewności rozszerzonej wynikającej z niepewności standardowej pomnożonej przez współczynnik rozszerzenia $k=2$.

Całkowita szacowana niepewność rozszerzona składowej E wynosi odpowiednio:

sonda SW-15: 35.1% dla częstotliwości do 4 GHz, sonda SW-16: 29.9% dla częstotliwości do 4 GHz

Pomiar wykonany metodą 2 sond, opisaną w artykule Medycyna Pracy 2015;66(5):701-712 „Optymalizacja metodyki pomiaru wieloczęstotliwościowego pola elektromagnetycznego stacji bazowych telefonii komórkowej”.

Umiejscowienie pionów (punktów) pomiarowych przedstawiono w załączniku nr 2 do niniejszego sprawozdania.

Pomiary wykonano na terenach przeznaczonych pod zabudowę mieszkaniową w obszarze pomiarowym, w którym na podstawie uprzednio przeprowadzonych obliczeń, stwierdzono występowanie w danych zakresach częstotliwości pól elektromagnetycznych o poziomach zbliżonych do poziomów dopuszczalnych, określonych w przepisach wydanych na podstawie art. 122 ust. 1 ustawy z dnia 27 kwietnia 2001 r. – Prawo ochrony środowiska.

Sprawozdanie z badań bez pisemnej zgody laboratorium nie może być powielane inaczej niż w całości.

Wynik przedstawione w niniejszym sprawozdaniu odnoszą się wyłącznie do badanego obiektu i do warunków i konfiguracji urządzeń w dniu wykonywania pomiarów.

10. Omówienie wyników pomiarów

W związku z tym, że żadna z wartości zmierzonych, udokumentowanych w tabelach w pkt. 9, uzyskanych w skutek zastosowania pomiaru szerokopasmowego, powiększonego o rozszerzoną niepewność pomiaru U dla współczynnika rozszerzenia $k = 2$ nie przekroczyła 70% najniższej dopuszczalnej wartości składowej elektrycznej lub magnetycznej pola dla objętych pomiarami zakresów częstotliwości, nie uwzględnia się poprawek pomiarowych.

W wyniku zastosowania sposobu sprawdzenia dotrzymania dopuszczalnych poziomów pól elektromagnetycznych w środowisku, zgodnie pkt 25 ppkt 1 Rozporządzenia Ministra Klimatu z dnia 17 lutego 2020 r. (Dz. U. 2022, poz. 2630), w związku z tym, że żadna z wartości wskaźnikowych, udokumentowanych w tabelach w pkt. 9 nie przekracza wartości 1, stwierdza się, że w miejscach, w których wykonano pomiary w otoczeniu instalacji radiokomunikacyjnej 30900 (40129N!) GGD_GDANSK_REJA23, dopuszczalne poziomy pól elektromagnetycznych w środowisku należy uznać za dotrzymane.

Miejsca niedostępne podczas wykonywania pomiarów wskazane zostały w pkt. 9 (Wyniki pomiarów) lub na załączniku przedstawiającym usytuowanie pionów pomiarowych

11. Podstawa prawna

- 1) Ustawa z dnia 27 kwietnia 2001 r. Prawo ochrony środowiska (T. j. Dz. U. z 2025 r., poz. 647 z późn. zm.)
- 2) Rozporządzenie Ministra Zdrowia z dnia 17 grudnia 2019 r. w sprawie dopuszczalnych poziomów pól elektromagnetycznych w środowisku (Dz. U. 2019, poz. 2448)
- 3) Rozporządzenie Ministra Klimatu z dnia 17 lutego 2020 r. w sprawie sposobów sprawdzania dotrzymania dopuszczalnych poziomów pól elektromagnetycznych w środowisku (Dz. U. 2022, poz. 2630),
- 4) Akredytacja nr AB 419 wydana przez Polskie Centrum Akredytacji (wydanie 24, z dnia 14 stycznia 2026r.)

12. Spis załączników

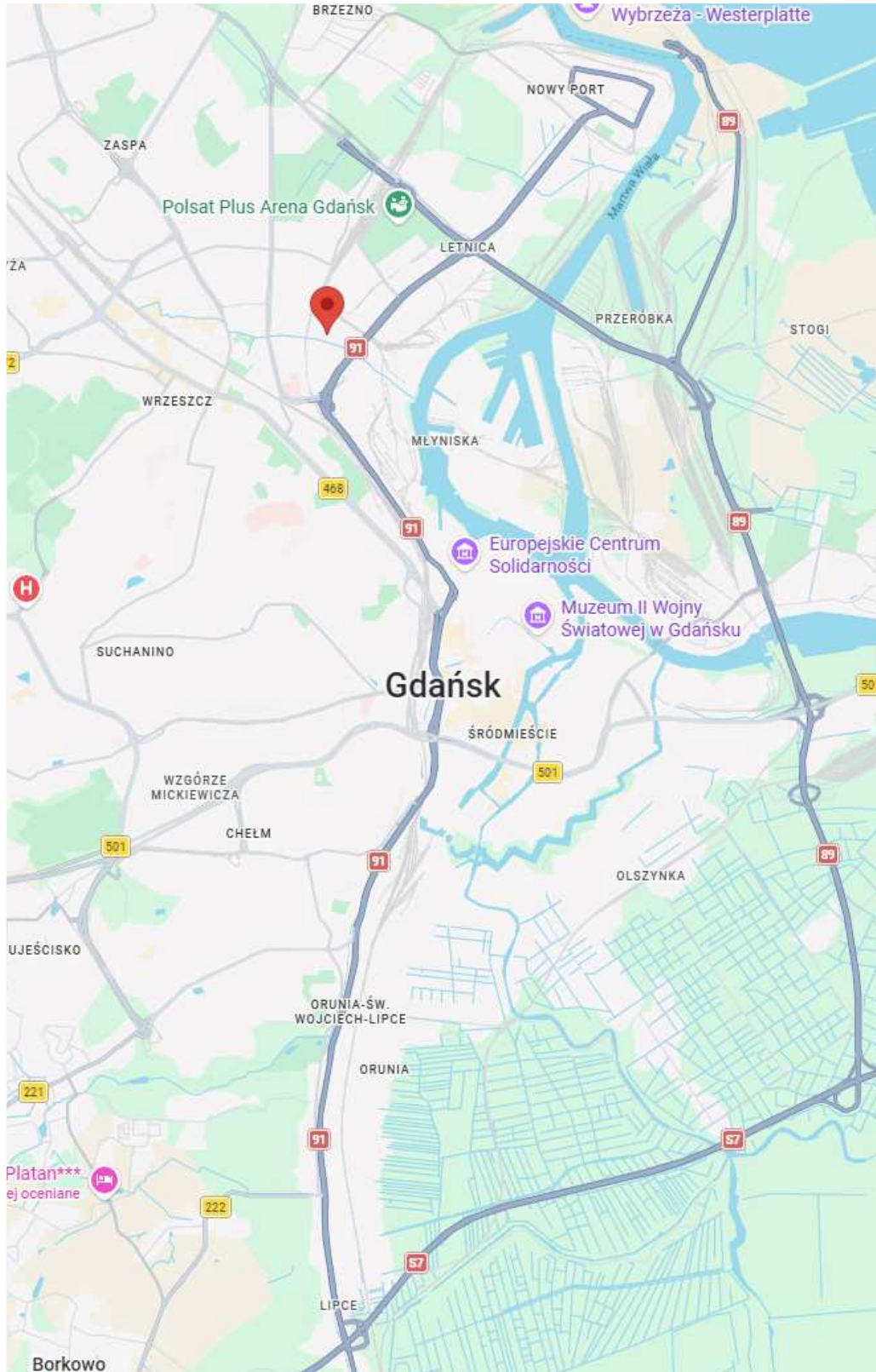
- Załącznik 1. Lokalizacja obiektu badań
- Załącznik 2. Usytuowanie pionów (punktów) pomiarowych
- Załącznik 3. Dokumentacja fotograficzna obiektu badań

13. Data wydania i autoryzowania sprawozdania

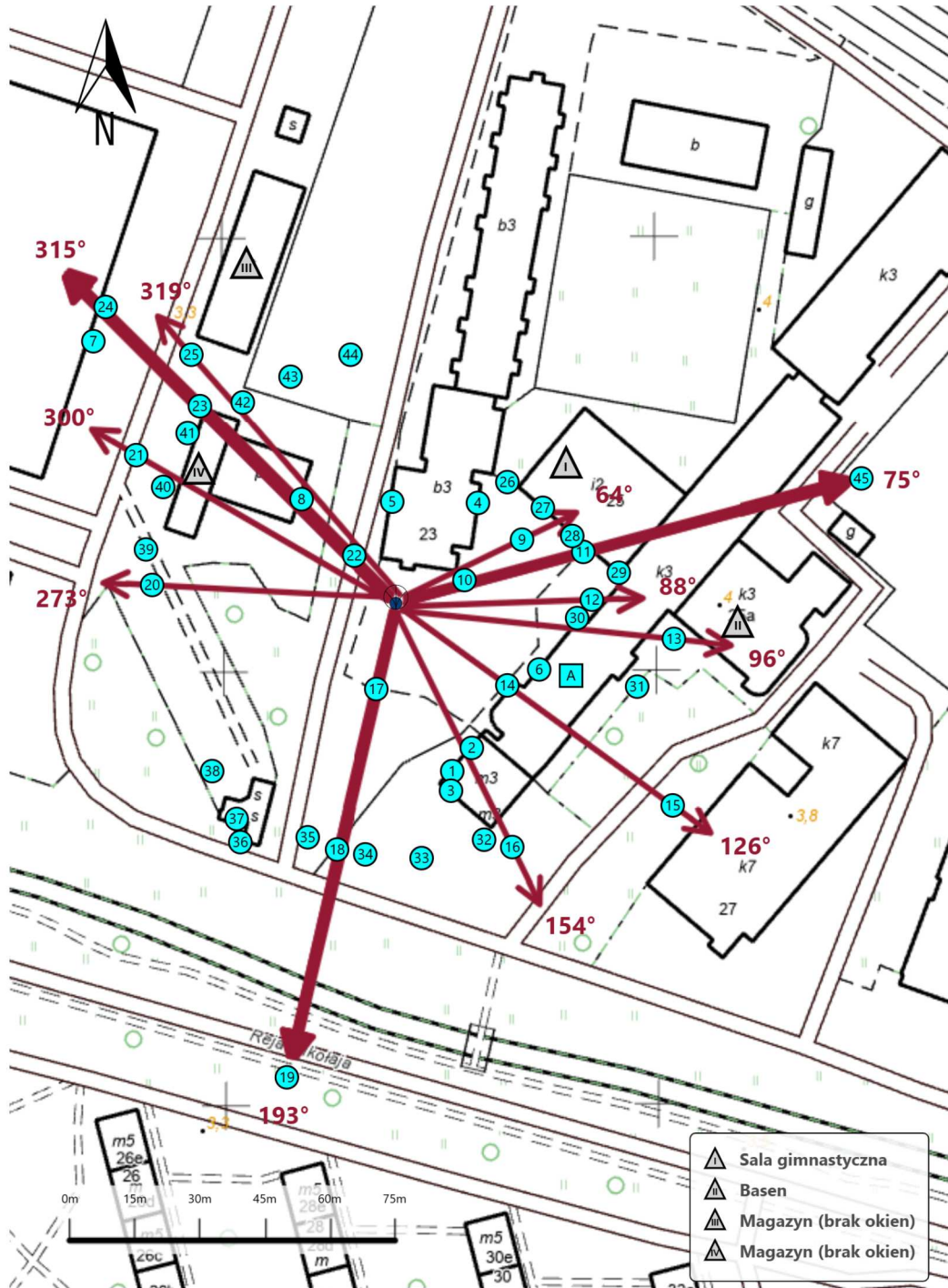
Obliczenia i sprawozdanie wykonał :






Sprawozdanie autoryzował:

Koniec sprawozdania



Załącznik nr 1	Instalacja radiokomunikacyjna T-Mobile Polska S.A. 30900 (40129N!) GGD_GDANSK_REJA23 Lokalizacja instalacji
----------------	---



Załącznik nr 2	<p style="text-align: center;">Instalacja radiokomunikacyjna T-Mobile Polska S.A. GGD_GDANSK_REJA23 (40129N!)</p> <p style="text-align: center;">Usytuowanie pionów pomiarowych w otoczeniu instalacji radiokomunikacyjnej</p>
Legenda:	<div style="display: flex; justify-content: space-around; align-items: flex-start;"> <div style="text-align: center;">  Źródło pola elektromagnetycznego </div> <div style="text-align: center;">  Brak dostępu </div> <div style="text-align: center;">  Pion pomiarowy </div> <div style="text-align: center;">  Kierunek oddziaływania anten sektorowych </div> <div style="text-align: center;">  Kierunek oddziaływania anten radioliniowych </div> </div>



Załącznik nr 3

Instalacja radiokomunikacyjna T-Mobile Polska S.A.
30900 (40129N!) GGD_GDANSK_REJA23

Dokumentacja fotograficzna